

東京工業大学 伯野元彦 建設省 藤城泰行
東京工業大学大学院 ○横山功一

1. はじめに

地盤の表面に荷重が作用した場合に、地盤中に生ずる応力を求める事は、構造物の沈下計算や地中構造物の設計等にオ一に必要な事である。荷重が静的な場合は、Boussinesqの問題等で、理論的に求められており、圧力球根の図、表が作製され、実用の便に供されている。しかしながら、機械台基礎に対する機械による加振力や、地中埋設管の自動車等の走行荷重による破壊、地盤の振動締固めについての問題点の把握等を考えると、静的な場合のみでなく、振動的外力が加わった時の、地盤中に生ずる応力を求める事が必要になる。本研究では、地盤を半無限弾性体と考えて、その表面に单一の点加振の場合と、等分布円荷重(半径 r_0)で加振された場合に、地盤に生ずる応力分布を求め、静的な場合と比較する。

2. 基礎方程式

図-1のように、半無限弾性体の表面を $z=0$ とし、鉛直軸 z を下方に向けて円筒座標 (r, θ, z) を考えて、 U_r, U_z をそれぞれ r, z 軸方向の変位成分とする。変位は z 軸に関して対称であるから、 θ 方向は考える必要はない。

その時の波動方程式は次のようになります。

$$\begin{aligned} P \frac{\partial^2 U_r}{\partial t^2} &= (\lambda + 2\mu) \frac{\partial A}{\partial r} + 2\mu \frac{\partial \omega}{\partial z} \\ P \frac{\partial^2 U_z}{\partial t^2} &= (\lambda + 2\mu) \frac{\partial A}{\partial z} - \frac{2\mu}{r} \frac{\partial}{\partial z} (r\omega) \\ \therefore A &= \frac{1}{r} \frac{\partial}{\partial r} (r \cdot U_r) + \frac{\partial U_z}{\partial z} \\ \omega &= \frac{1}{2} \left(\frac{\partial U_r}{\partial z} - \frac{\partial U_z}{\partial r} \right) \\ \lambda &= \text{Lamé の定数} \quad (= \frac{2\mu\sigma}{1-2\sigma} = \frac{E\sigma}{(1+\sigma)(1-2\sigma)}) \end{aligned}$$

又、鉛直方向の垂直応力 σ_z と、 z に垂直な面に働く剪断応力 τ_{rz} は、

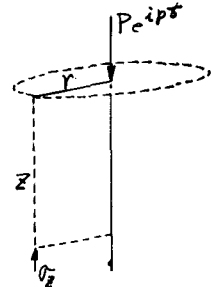


図-1

で表わされる。そして、波動方程式の解は次のようになります。

$$U_r = (n_1 A e^{-n_1 z} + n_2 B e^{-n_2 z}) J_1(k_r r) e^{i\omega t}$$

$$U_z = (n_1 A e^{-n_1 z} + n_2 B e^{-n_2 z}) J_0(k_r r) e^{i\omega t}$$

$$\therefore k_r^2 = \frac{P^2}{\alpha^2} + n_1^2 = \frac{P^2}{\beta^2} + n_2^2, \quad \alpha = \sqrt{(\lambda+2\mu)/\rho} = VP, \quad \beta = \sqrt{\mu/\rho} = VS$$

J_0, J_1 : Bessel 関数

又、応力については、

$$\sigma_z = \left[\left\{ \frac{2\alpha^2}{1-2\sigma} (k_r^2 - n_1^2) - 2n_1^2 \right\} A e^{-n_1 z} + 2k_r n_2 B e^{-n_2 z} \right] J_0(k_r r) \mu e^{i\omega t}$$

$$\tau_{rz} = -\mu \left[2k_r n_1 A e^{-n_1 z} + (2k_r^2 - \frac{P^2}{\beta^2}) B e^{-n_2 z} \right] J_1(k_r r) e^{i\omega t}$$

3. 解法

加振力として、原点において z 軸方向に作用する上下方向加振力 $P e^{i\omega t}$ を考えて、境界条件に合つうに定数 A, B を定める。

$$\begin{aligned} \text{一点加振の時の境界条件: } \sigma_z|_{z=0} &= -P e^{i\omega t} & (r = 0) \\ &= 0 & (r > 0) \\ \tau_{zr}|_{z=0} &= 0 \end{aligned}$$

既に述べた条件を Fourier-Bessel 級数に展開すると

$$\sigma_z|_{z=0} = -\frac{P e^{i\omega t}}{2\pi} \int_0^\infty J_0(kr) k dk$$

となる。そこで、応力の一般解で $z = 0$ としたときと比較して、 A, B を求める。

$$A = \frac{P e}{2\pi \mu} \left(2k^2 - \frac{\rho^2}{\beta^2} \right) \frac{dk}{F(k)}$$

$$B = -\frac{P e}{2\pi \mu} \cdot 2k n_1 \frac{dk}{F(k)}$$

$$\text{ただし, } F(k) = (2k^2 - \frac{\rho^2}{\beta^2})^2 - 4k^2 n_1 n_2 \quad (\text{Rayleigh 関数})$$

この A, B を応力の一般解に代入して r に関する \int_0^∞ をほどこせば、 σ_z, τ_{zr} が求まる。

$$\sigma_z = \frac{P e^{i\omega t}}{\pi} \int_0^\infty \left\{ k \left(2k^2 - \frac{\rho^2}{\beta^2} \right) \left(\frac{\alpha}{1 - 2\alpha} - \frac{\rho^2}{\beta^2} - n_1^2 \right) e^{-n_1 z} + 2k^3 n_1 n_2 e^{-n_2 z} \right\} \frac{J_0(kr)}{F(k)} dk$$

$$\tau_{zr} = \frac{P e^{i\omega t}}{\pi} \int_0^\infty k^2 n_1 \left(2k^2 - \frac{\rho^2}{\beta^2} \right) \left(e^{-n_1 z} - e^{-n_2 z} \right) \frac{J_1(kr)}{F(k)} dk$$

4. 数値計算の結果及び考察

上の無限積分を電子計算機を用いて計算した。積分の中の Rayleigh 関数は実根をもつてゐるから、この積分は積分路線上に極が存在する事になる。結果は複素数で表わされるので、絶対値とり、等応力の点を結んで図を作製した。

図-2 から、表面近くでは差はあまりないが深くなるにつれて、振動的外力の場合の方が、大きな応力が生じている。

又、表-1 から振動数が大きくなるほど同じ場所では、応力が大きくなる傾向が表わされている。振動数と $1, 2, 5, 10, 25, 50$ Hz と変化させる。

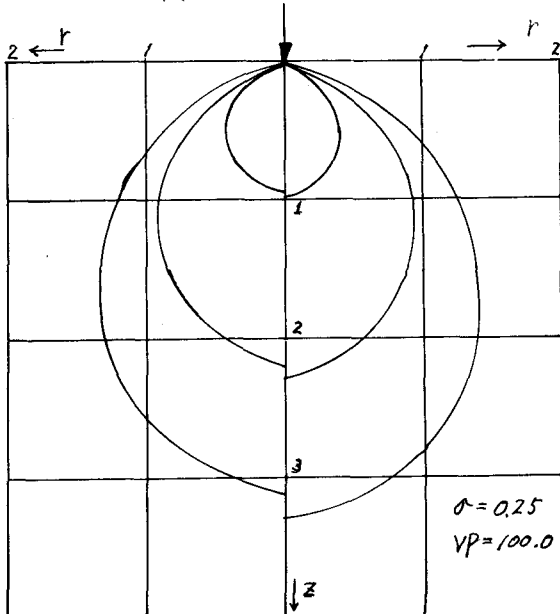


図-2 左: 静的 右: $T = 0.2$

表-1. 振動数を変えた時の半径方向の応力変化 ($z = 1.2$)

| | 0.0 | 0.2 | 0.4 | 0.6 | 0.8 | 1.0 | 1.2 | 1.4 | 1.6 | 1.8 | 2.0 |
|---------------|--------|--------|--------|--------|--------|--------|--------|--------|--------|--------|--------|
| 静的な場合 | 0.332 | 0.310 | 0.255 | 0.190 | 0.132 | 0.0887 | 0.0586 | 0.0387 | 0.0258 | 0.0171 | 0.0120 |
| $T = 0.5$ (s) | 0.3412 | 0.3191 | 0.2638 | 0.1981 | 0.1398 | 0.0956 | 0.0649 | 0.0444 | 0.0310 | 0.0222 | 0.0164 |
| $T = 0.2$ (s) | 0.4210 | 0.3976 | 0.3390 | 0.2687 | 0.2050 | 0.1553 | 0.1190 | 0.0933 | 0.0747 | 0.0609 | 0.0502 |